

УДК 535.370-

**СПЕКТРАЛЬНО-ЛЮМИНЕСЦЕНТНОЕ ИССЛЕДОВАНИЕ  
РАСТВОРОВ АКТИВНЫХ ЦЕНТРОВ  $\text{Nd}^{3+}$   
В  $\text{POCl}_3 + \text{SnCl}_4$**

T. K. Андреева, M. E. Жаботинский, L. B. Лёвкин  
и B. I. Ральченко

Проведены исследования спектров поглощения и люминесценции раствора неодима в  $\text{POCl}_3 + \text{SnCl}_4$  при температурах 290, 77, 4.2° К в диапазоне концентраций активного иона от 0.2 до 8 вес. %. Спектры поглощения при переходе на уровень  ${}^2P_{1/2}$  указывают на существование четырех типов люминесцирующих центров  $\text{Nd}^{3+}$ . При быстром охлаждении наблюдается переход одних типов центров в другие. Применение различных способов охлаждения образцов, приготовленных по разной методике, позволило выделить спектры, относящиеся к каждому отдельному типу центров, и расшифровать штарковскую структуру уровней  ${}^2P_{1/2}$ ,  ${}^4G_{7/2}$ ,  ${}^4F_{9/2}$ ,  ${}^4I_{11/2}$  и  ${}^4I_{9/2}$ . Исследование спектров 2%-го раствора неодима в  $\text{SeOCl}_2 + \text{SnCl}_4$  показало, что в нем также имеются по крайней мере два типа люминесцирующих центров.

Исследование лазерных жидкостей  $\text{SeOCl}_2 + \text{SnCl}_4 - \text{Nd}^{3+}$  и  $\text{POCl}_3 + \text{SnCl}_4 - \text{Nd}^{3+}$  посвящен ряд работ [1-7], но в этих работах не проводилось достаточно подробного анализа спектров поглощения и люминесценции активного иона. Однако сведения о штарковской структуре уровней  $\text{Nd}^{3+}$ , полученные из такого анализа, дают возможность выявить симметрию ближайшего окружения и судить о характере растворения активного иона в рассматриваемых матрицах.

Для разрешения штарковской структуры в этих жидкостях необходимы низкотемпературные исследования спектров поглощения и люминесценции. При этом, кроме определенных экспериментальных трудностей, возникает принципиальная трудность в истолковании полученных результатов, так как при понижении температуры происходит затвердение исследуемых люминофоров, а при этом ближайшее окружение исследуемого иона может существенно измениться [8]. Поэтому перенесение сведений о структуре веществ, полученных при температуре ниже точки замерзания, на вещества при комнатных температурах может быть проведено только при привлечении дополнительных данных, в частности результатов исследования спектров вблизи точки фазового перехода.

Спектры люминесценции растворов европия в  $\text{POCl}_3 + \text{SnCl}_4$  и  $\text{SeOCl}_2 + \text{SnCl}_4$  исследовались в [9, 10] и было обнаружено несколько типов центров люминесценции активного иона. Низкотемпературные исследования спектрально-люминесцентных свойств  $\text{Nd}^{3+}$  в  $\text{POCl}_3 + \text{SnCl}_4$  проведены в работе [11]. Авторы указывают на существование трех типов люминесцирующих центров  $\text{Nd}^{3+}$ .

Целью настоящей работы является определение штарковской структуры электронных уровней люминесцирующих центров неодима в  $\text{POCl}_3 + \text{SnCl}_4$ .

Исследовавшиеся люминофоры  $\text{POCl}_3 + \text{SnCl}_4 - \text{Nd}^{3+}$  приготавливались растворением  $\text{Nd}(\text{OH})_3$ ,  $\text{Nd}(\text{NO}_3)_3 \cdot 6\text{H}_2\text{O}$ ,  $\text{Nd}(\text{ClO}_4)_3 \cdot 6\text{H}_2\text{O}$  и  $\text{NdCl}_3 \cdot 3\text{H}_2\text{O}$ . Соотношение весовых количеств  $\text{POCl}_3$  и  $\text{SnCl}_4$  обычно составляло 6 : 1 или 8 : 1, что соответствует области существования устойчивой системы, а в некоторых опытах это отношение изменялось от 3 : 1 до 10 : 1. Во всех

случаях растворение соединений неодима сопровождалось кипячением в течение 1–2 часов с целью стандартизации условий приготовления.

В процессе приготовления люминофоров принимались меры по уменьшению количества гигроскопической и кристаллизационной воды в исходных веществах. Однако количество остаточной воды в солях неодима трудно контролировать и в полученных из них люминофорах безызлучательные потери велики.

Концентрация Nd в исследуемых образцах изменялась от 0,2 до 8 вес.%. Составы с повышенной концентрацией активных ионов приготавливали методом упаривания растворителя из исходных жидкостей с 2% неодима, а составы с уменьшенным содержанием неодима — путем разбавления растворителем  $\text{POCl}_3 + \text{SnCl}_4$ .

Для исследования структуры уровней  $\text{Nd}^{3+}$  в  $\text{POCl}_3 + \text{SnCl}_4$  регистрировались спектры поглощения и люминесценции при комнатной, азотной и гелиевой температурах на спектрофотометре СФ-8 и на спектрографе ДФС-12.

Важную роль в эксперименте играла методика охлаждения исследуемых люминофоров. Как отмечено в [11], от способа охлаждения образцов зависит разрешение линий в спектрах. В нашем эксперименте применение разных способов охлаждения образцов дало возможность при интерпретации спектров выделить отдельные типы центров люминесценции. Применились следующие способы охлаждения образцов: быстрое, медленное и циклическое. Скорость медленного охлаждения была меньше 0,1 град./сек. при этом можно было контролировать изменение спектров в процессе охлаждения образца. Циклическое охлаждение (в работе [11] ступенчатое) состоит в том, что исследуемые образцы жидкости быстро замораживаются и несколько раз нагреваются до температуры, близкой к температуре затвердевания с последующим охлаждением до азотной температуры.

Следует заметить, что различные способы охлаждения отражаются не только на спектрах активного иона, но и на внешнем виде образцов. После быстрого охлаждения, замороженная жидкость представляет собой растрескавшуюся массу, а после циклического и медленного охлаждения становится однородно-матовой.

При изучении спектров  $\text{Nd}^{3+}$  из всей совокупности линий поглощения и люминесценции подробно исследовались группы линий, соответствующие поглощению при переходе на уровень  $4F_{3/2}$ ,  $4G_{7/2}$ ,  $2P_{1/2}$  и люминесценции с уровня  $4F_{3/2}$  на  $4I_{11/2}$  и  $4I_{9/2}$ . После расшифровки штарковской структуры уровней это ограниченное число исследуемых мультиплетов является достаточным для определения потенциала поля ближайшего окружения для возможно низкой симметрии  $C_{2v}$ . Положение исследуемых уровней на шкале энергий сопоставлялось с последовательным рядом соответствующих уровней «свободного иона»  $\text{Nd}^{3+}$  [12], что оправдано, так как для f-электронов ряда ионов штарковские расщепления соседних уровней не перекрываются [13]. Проводилось также сравнение с данными аналогичных исследований иона  $\text{Nd}^{3+}$  в других растворах [14–16]. Особое значение для установления числа типов люминесцирующих центров в люминофоре имел уровень  $2P_{1/2}$ , не расщепляемый кристаллическим полем.

Система  $\text{POCl}_3 + \text{SnCl}_4 - \text{Nd}^{3+}$ , получаемая растворением  $\text{Nd}(\text{OH})_3$ , изучалась нами наиболее подробно. (Далее в тексте она будет именоваться «система I»). Системы, полученные растворением других соединений неодима, использовались главным образом для выделения линий, принадлежащих разным типам центров люминесценции, поскольку в эксперименте было отмечено отличие в спектрах для жидкостей, приготовленных по разной методике, связанное, как выяснилось, с изменением содержания в них разных типов центров люминесценции.

Спектры поглощения с переходом на уровень  $2P_{1/2}$  при комнатной, азотной и гелиевой температурах для образцов системы I с разной концентрацией Nd приведены на рис. 1. Изучение низкотемпературных спектров поглощения при переходе на  $2P_{1/2}$  позволяет обнаружить существование

в системе I четырех типов центров. Два типа центров: *A* и *B* можно определить в спектрах поглощения образцов системы I со средней концентрацией неодима. Им соответствуют следующие максимумы линий поглощения:  $\nu_A = 23318 \text{ см}^{-1}$  и  $\nu_B = 23375 \text{ см}^{-1}$ . Линии двух других центров в приведенных спектрах поглощения при переходе на  $^2P_{1/2}$  образцов системы I разрешаются плохо, тем не менее наличие дополнительных линий, отличных от линий, принадлежащих центрам *A* и *B*, в спектрах переходов между другими уровнями указывает на существование этих центров. Причем линии, отнесенные к центру *D*, проявляются в образцах с концентрацией активного иона больше 5 вес.%. Максимумы линий

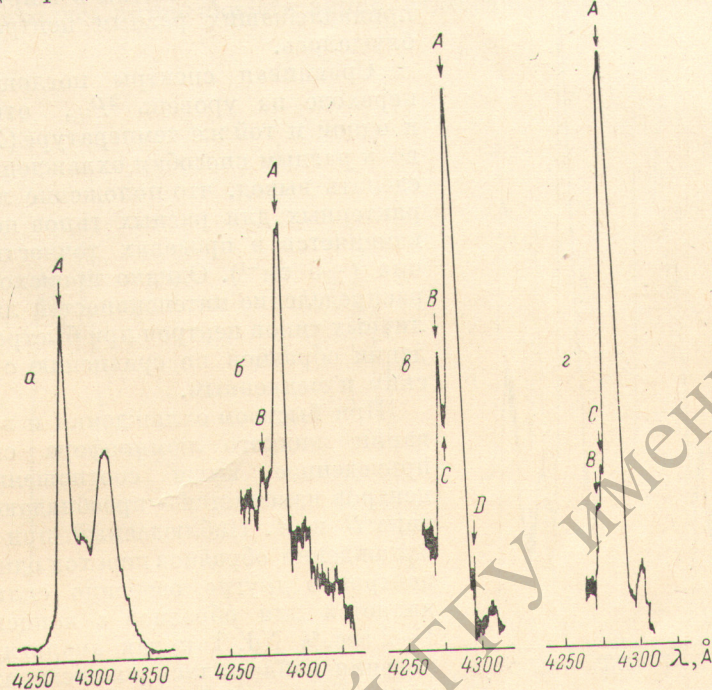


Рис. 1. Зависимость низкотемпературных спектров поглощения при переходе на уровень  $^2P_{1/2}$  от концентрации неодима (система I, медленное охлаждение).

*a* — слабозависящий от концентрации спектр при 290° К; *б* — 1% Nd, 77° К; *в* — 4% Nd, 4.2° К; *г* — 7% Nd, 77° К.

поглощения на  $^2P_{1/2}$  этих типов центров оказалось возможным выделить в спектрах образцов, приготовленных по другой методике. На рис. 1 указано также положение линий поглощения для типов центров *C* и *D*. Максимум поглощения при переходе на  $^2P_{1/2}$  центра типа *C* расположен при  $\nu_C = 23354 \text{ см}^{-1}$ , а центр типа *D* имеет максимум с  $\nu_D = 23298 \text{ см}^{-1}$ .

Поскольку положение линий поглощения при переходе на  $^2P_{1/2}$  различных центров люминесценции определено выше из низкотемпературных спектров, это позволило в спектрах поглощения жидкого люминофора (при  $T=290$ ° К) выделить линии, соответствующие различным типам центров и оценить их интенсивности. На рис. 2 приведены спектры поглощения при переходе на  $^2P_{1/2}$  образца с концентрацией 3.2 вес.% Nd при комнатной температуре и при  $T=200$ ° К после медленного охлаждения. Спектр, прописанный в процессе медленного охлаждения, показывает, что при изменении агрегатного состояния люминофора положение и относительные интенсивности линий поглощения для наблюдаемых типов центров остаются практически неизменными. Это дает основание переносить сведения о штарковской структуре центров, полученные при низкой температуре, на центры в жидком люминофоре. Для образцов, приготовленных с разным соотношением  $\text{POCl}_3 : \text{SnCl}_4$  (от 3 : 1 до 10 : 1),

в спектрах поглощения при переходе на  $^2P_{1/2}$  при медленном и циклическом охлаждении до  $T=77^\circ\text{K}$  существенного изменения соотношения интенсивностей линий разных типов центров люминесценции не наблюдалось. Из спектров можно приблизенно оценить соотношение интенсивностей линий отдельных типов центров: для центров типа *A*, *B* и *C* соотношение интенсивностей соответственно около 50, 15 и 30%, а интенсивность линии центра типа *D* порядка 5% (для концентраций около 3 вес.% Nd).

Интенсивности линий поглощения отражают количественное содержание различных типов центров люминесценции в образцах, так как

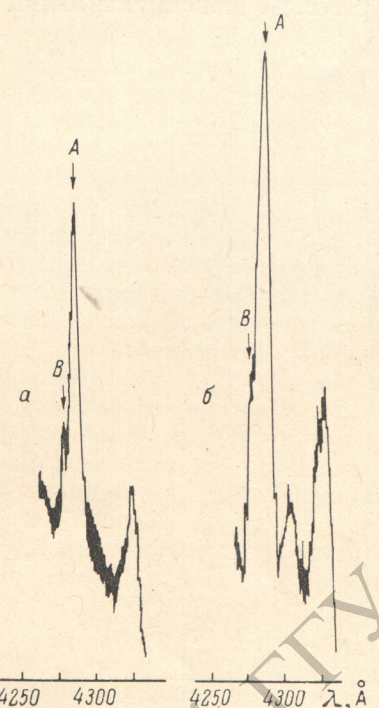


Рис. 2. Сохранение относительного вклада линий поглощения разных типов центров  $\text{Nd}^{3+}$  при медленном охлаждении от  $290^\circ\text{K}$   
(*a*) до  $200^\circ\text{K}$  (*b*).

Система I, 3.2% Nd, поглощение при переходе на уровень  $^2P_{1/2}$ .

разцах осадок при нагревании при температурных измерениях взаимное соотношение интенсивностей линий различных типов центров восстанавливается.

На рис. 3 приведены спектры поглощения при переходе на уровень  $^4F_{3/2}$  при  $T=290$ ,  $77$ ,  $4.2^\circ\text{K}$  для различных способов охлаждения образцов. Из спектров, полученных при медленном и циклическом охлаждении, выделяются линии, относящиеся к центрам типа *A* и *C*, а после быстрого охлаждения в спектрах происходят изменения и проявляются линии центра *B*. Трехгорбая интенсивная часть спектра этой полосы поглощения при  $T=290^\circ\text{K}$ , соответствующая поглощению с нижнего уровня основного состояния, относится к линиям штарковского расщепления центров типа *A* и *C*. Это является дополнительным подтверждением того, что в жидким люминофоре преобладают два типа центров (*A* и *C*).

Из аналогичных исследований спектров, соответствующих переходам между другими уровнями, в образцах системы I оказалось возможным определить штарковскую структуру уровней центра типа *A* и только некоторые штарковские подуровни для центров *B*, *C* и *D*. Таким образом, картина энергетических уровней для других типов центров оставалась.

существенного различия в ширине линий, принадлежащих разным центрам, не наблюдалось.

Сравнивая спектры поглощения при переходе на уровень  $^2P_{1/2}$ , относящиеся к одной и той же температуре ( $T=77^\circ\text{K}$ ), но к разным способам охлаждения, можно сделать вывод, что положение линий, характерных для разных типов центров, не изменяется в пределах точности измерения ( $\pm 5 \text{ cm}^{-1}$ ). Однако происходит перераспределение интенсивностей линий различных типов центров при быстром охлаждении образцов по сравнению с циклическим и медленным.

При быстром охлаждении и замораживании жидкого люминофора системы I приведенное выше соотношение типов центров изменяется — преобладают центры типа *B* и *A*. Наблюдаемый при быстром охлаждении образцов переход одних типов центров в другие особенно сильно проявляется для образцов с концентрацией 1—2 вес.% Nd. Так как аналогичные изменения наблюдались и в спектрах других мультиплетов, то быстрое охлаждение было использовано нами для выделения некоторых штарковских компонент центра типа *B*.

После размораживания образцов жидкостей, охлажденных разными способами, необратимых изменений в них не наблюдается. Появляющийся в некоторых образцах осадок растворяется. При повторных низкотемпературных измерениях взаимное соотношение интенсивностей линий различных типов центров восстанавливается.

неполной, так как из спектров системы I невозможно найти максимумы всех линий центров типа *B*, *C* и *D* либо из-за их взаимного перекрывания, либо из-за малого относительного содержания данного типа центра. Поэтому нам пришлось привлечь к исследованию образцы, приготовленные из солей неодима.

При низкотемпературном исследовании люминофоров, полученных при растворении  $\text{Nd}(\text{NO}_3)_3$  в  $\text{POCl}_3 + \text{SnCl}_4$  (система II), оказалось, что в спектрах поглощения на  ${}^2P_{1/2}$  образцов с концентрацией 1—2 вес. % Nd при быстром охлаждении в основном наблюдается линия центра типа *B* и намного слабее линия центра *A*. В спектрах других мультиплетов также резко увеличились интенсивности линий, отнесенных ранее к типу центра

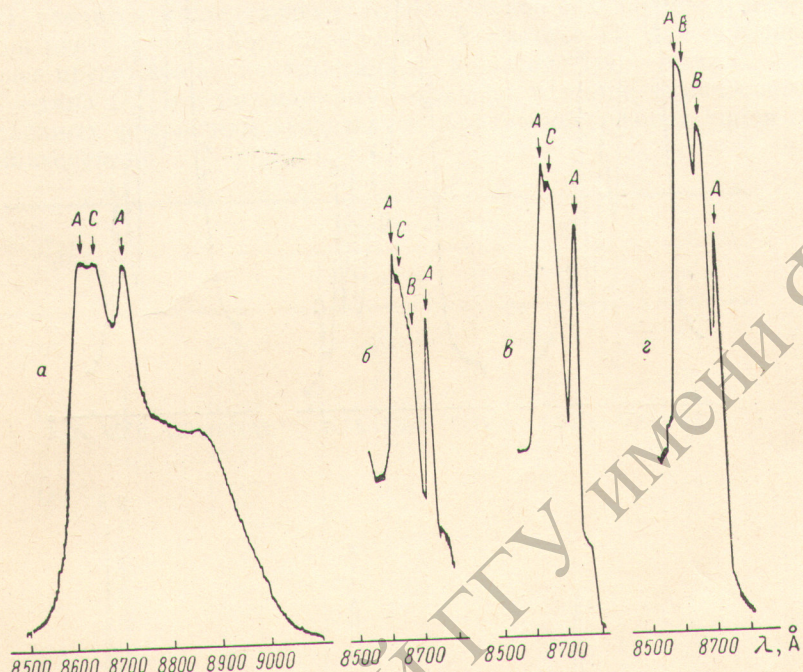


Рис. 3. Спектры поглощения  ${}^4I_{9/2} \rightarrow {}^4F_{3/2}$  (система I).

*a* — 1.5% Nd, 290° K; *b* — 2% Nd, 77° K, циклическое охлаждение; *c* — 2% Nd, 4.2° K, медленное охлаждение; *d* — 1% Nd, 77° K, быстрое охлаждение.

*B*. Выделение остальных линий центра типа *B* стало возможным после идентификации в спектрах образцов системы II после быстрого охлаждения линий тонкого расщепления уровней центра *A*, которые нами были определены из спектров системы I. Для спектров образцов системы II, полученных после медленного или циклического охлаждения наиболее характерны линии центра типа *A*. На рис. 4 приведены для сравнения спектры  $\text{Nd}^{3+}$  переходов  ${}^4F_{3/2} \rightarrow {}^4I_{9/2}$  и  ${}^4F_{3/2} \rightarrow {}^4I_{11/2}$  при  $T=77$ ° K для образцов системы I после медленного охлаждения и для образцов системы II. В спектрах системы II после циклического охлаждения можно обнаружить штарковскую структуру уровней  ${}^4I_{9/2}$  и  ${}^4I_{11/2}$  центра типа *A*, а при быстром охлаждении, как и в спектрах поглощения при переходе на  ${}^2P_{1/2}$ , проявляется штарковская структура уровней центра *B*.

Анализ спектров люминофоров, полученных растворением  $\text{Nd}(\text{ClO}_4)_3$  (система III), показал, что для этих образцов после медленного и циклического охлаждения до  $T=77$ ° и 4.2° K характерны разрешенные ранее в спектрах образцов системы I линии центра типа *C*. Исключение линий центра типа *B* из этих спектров позволило выделить штарковскую структуру уровней центра типа *C*. В спектрах образцов системы III после быстрого охлаждения наблюдается увеличение интенсивностей линий центра типа *B* и некоторое уменьшение интенсивностей линий центра *C*.

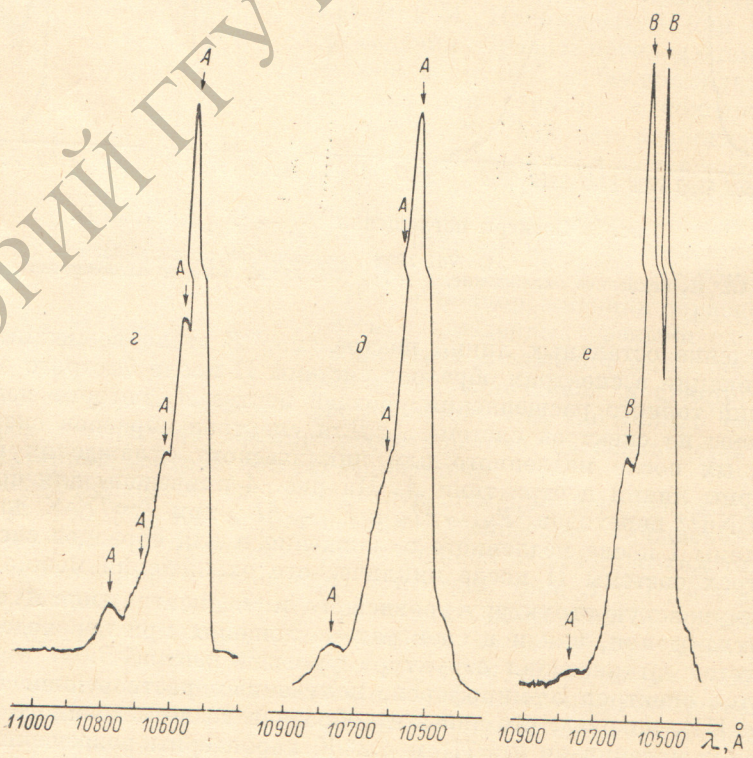
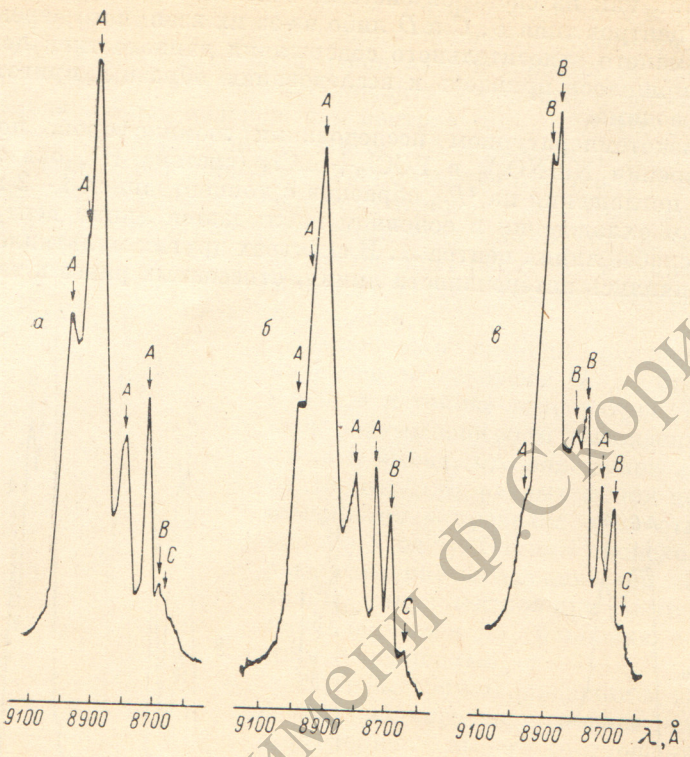


Рис. 4. Спектры люминесценции переходов  $4F_{3/2} \rightarrow 4I_{9/2}$  и  $4F_{3/2} \rightarrow 4I_{11/2}$  при температуре 77° К (2% Nd).

*a* — и *г* — система I, медленное охлаждение; *б* и *д* — система II, циклическое охлаждение; *в* и *е* — система II, быстрое охлаждение.

Из анализа низкотемпературных спектров люминофоров, приготовленных растворением  $\text{NdCl}_3$  (система IV), оказалось, что после медленного и циклического охлаждения проявились характерные линии центра типа  $D$ , полученные раньше из спектров образцов системы I, что и позволило определить штарковскую структуру уровней этого центра. В спектрах, полученных после быстрого охлаждения образцов системы IV, разрешение линий центра  $D$  ухудшается, так как появляющиеся линии центра  $A$  перекрываются с линиями центра типа  $D$ , т. е. также наблюдается перестраивание структуры люминофора после быстрого охлаждения.

Наиболее важный результат низкотемпературных исследований люминофоров, подготовленных растворением солей неодима (системы II, III и IV), сводится к следующему: относительное содержание в них разных типов центров оказалось различным. В системе II, как и в системе I, наиболее представлены центры типа  $A$ , в системе III — типа  $C$ , а в системе IV — типа  $D$ . Это, по-видимому, отражает влияние химического состава исходных соединений неодима на образование разных типов центров люминесценции.

SLJ	Уровни энергии, $\text{см}^{-1}$			
	типа D	типа A	типа C	типа B
$^2P_{1/2}$	23298	23318	23354	23375
$^4G_{7/2}$	19141	19190	19253	19253
	19088	19077	19157	19197
	19004	19033	19124	19146
	18940	18954	19106	19135
$^4F_{3/2}$	11562	11582	11609	11574
	11425	11457	11545	11509
$^4I_{11/2}$	2130	2163	—	—
	2110	2098	—	—
	2066	2069	—	—
	2047	2040	2133 (3)	2078 (3)
	1954	1986	2063 (2)	2020 (2)
	1937	1950	2018 (1)	1977 (1)
	301	307	367	301
$^4I_{9/2}$	239	257	308	264
	195	222	250	166
	82	89	190	123
	0	0	0	0

В результате проведенных исследований оказалось возможным установить штарковскую структуру уровней для наблюдаемых типов центров, которая приведена в таблице. В переходах на некоторые уровни наблюдаемое число линий меньше  $(2J+1)/2$  и мы дополнительно приводим относительные ширинны этих линий, причем самую узкую принимаем за единицу. В работе [11] приведены данные о штарковском расщеплении уровней  $^4I_{9/2}$ ,  $^4I_{11/2}$  и  $^4I_{13/2}$ . Переходы на уровень  $^4I_{13/2}$  нами не исследовались, а из сравнения значений расщеплений уровней  $^4I_{9/2}$  и  $^4I_{11/2}$  с полученными нами следует, что они близки к расщеплениям уровней для центра типа  $A$ . Для двух других центров в этой работе приводятся только по одной линии в переходах  $^4F_{3/2} \rightarrow ^4I_{9/2}$ ,  $^4F_{3/2} \rightarrow ^4I_{11/2}$  и  $^4F_{3/2} \rightarrow ^4I_{13/2}$ , причем линии одного из этих центров можно сопоставить с линиями центра типа  $C$ .

Схема расщепления уровней  $\text{Nd}^{3+}$  в жидких неорганических матрицах, приведенная в работе [17], по-видимому, получена из спектров, снятых при комнатной температуре, без выделения разных типов центров. Поэтому для сопоставления данных эта схема не может быть использована, несмотря на то что расщепления некоторых мультиплетов в ней близки к полученным нами для разных типов центров.

Исследование спектров  $\text{Nd}^{3+}$  при быстром и циклическом охлаждении до  $T=77^\circ\text{K}$  проводилось нами также в системе  $\text{SeOCl}_2+\text{SnCl}_4$ . Из спектра поглощения этого образца при переходе на уровень  $^2P_{1/2}$  следует, что в этой системе имеется по крайней мере два типа центров.

Таким образом, в результате низкотемпературного исследования люминофоров обнаружено, что 1) в системе  $\text{POCl}_3+\text{SnCl}_4-\text{Nd}^{3+}$  имеется по крайней мере четыре типа люминесцирующих центров, причем для жидкого люминофора, приготовленного из  $\text{Nd(OH)}_3$  (концентрация 1—4 вес. % Nd), характерны центры типа A и C, а для жидкостей с концентрацией больше 5 вес. % Nd характерны центры типа A и D; 2) относительное содержание разных типов центров зависит от состава исходных соединений неодима; 3) при переходе от циклического и медленного охлаждения образцов к быстрому в спектрах наблюдается перераспределение линий отдельных центров, отражающее переход одних типов центров в другие; 4) с помощью различных способов охлаждения и разных методов приготовления системы  $\text{POCl}_3+\text{SnCl}_4-\text{Nd}^{3+}$  расшифрована штарковская структура уровней  $^2P_{1/2}$ ,  $^4G_{7/2}$ ,  $^4F_{3/2}$ ,  $^4I_{11/2}$  и  $^4I_{9/2}$  для всех типов центров; 5) в системе  $\text{SeOCl}_2+\text{SnCl}_4-\text{Nd}^{3+}$  имеется по крайней мере два типа центров.

Полученные данные о штарковском расщеплении уровней применяются сейчас для определения параметров поля ближайшего окружения люминесцирующих центров разных типов. Для определения структурных параметров центров необходимо, кроме спектрально-люминесцентных, привлечь и другие методы исследования.

В заключение авторы считают приятным долгом выразить благодарность Т. В. Бабкиной, Ч. М. Брискиной, М. И. Гайдуку и В. В. Зеленцову за обсуждение результатов и полезные советы, а также П. А. Цейтлиней, Т. А. Дербеневой и Л. И. Гуровой за предоставление некоторых образцов.

#### Литература

- [1] A. Heller. Appl. Phys. Lett., 9, 106, 1966.
- [2] A. Lempicki, A. Heller. Appl. Phys. Lett., 9, 108, 1966.
- [3] М. Е. Жаботинский, Н. М. Жаворонков, В. Г. Лебедев, Б. Н. Малышев, Ю. П. Рудницкий, Г. В. Эллерт. Вестн. АН СССР, 2, 52, 1969.
- [4] Н. Е. Алексеев, О. Н. Гиляров, М. Е. Жаботинский, Ю. И. Красилов, Б. Н. Куликовский, В. Г. Лебедев, Б. Н. Малышев, Ю. П. Рудницкий, Г. В. Эллерт. Неогр. матер., 5, 1038, 1969.
- [5] C. Brescher, K. French, W. Watson, D. Miller. J. Appl. Phys., 41 4578, 1970.
- [6] E. J. Schimitschek. J. Appl. Phys., 39, 6120, 1968.
- [7] Ю. К. Воронько, Л. В. Кротова, В. А. Сычугов, Г. П. Шипуло. Ж. прикл. спектр., 10, 244, 1969.
- [8] А. Уббелоде. Плавление и кристаллическая структура. Изд., «Мир», 1969.
- [9] М. И. Гайдук, О. Н. Гиляров, М. Е. Жаботинский, В. Ф. Золин, Б. Н. Куликовский, Л. В. Кротова, В. Г. Лебедев, Г. В. Эллерт. Изв. АН СССР, неогр. матер., 6, 1276, 1970.
- [10] М. И. Гайдук. Автореф. канд. дисс., М., 1969.
- [11] М. Н. Толстой, Е. И. Любимов, И. М. Батяев. Опт. и спектр., 28, 722, 1970.
- [12] П. Герлих, Х. Каррас, Г. Кётинц, Р. Леман. Спектроскопические свойства активированных лазерных кристаллов. Изд. «Наука», М., 1966.
- [13] В. Лоу. Парамагнитный резонанс в твердых телах. ИЛ, М., 1962.
- [14] J. Gruber, R. A. Satten. J. Chem. Phys., 39, 1455, 1963.
- [15] W. T. Carnall, P. R. Fields, K. Rajnak. J. Chem. Phys., 49, 4424, 1968.
- [16] A. Heller. J. Mol. Spectr., 28, 208, 1968.
- [17] F. Collier, G. Girard, M. Michon, J. P. Pocholle. IEEE, QE-7, 11, 519, 1971.